

## НАНОМАТЕРИАЛЫ

УДК 537.9/538.97

# ТЕМПЕРАТУРНАЯ ЭВОЛЮЦИЯ СТРУКТУРЫ НАНОЧАСТИЦ ОКСИДА МЕДИ В ПОРИСТЫХ СТЕКЛАХ<sup>1</sup>

© 2011 г. И. В. Голосовский, А. А. Набережнов\*, Д. А. Курдюков\*,  
И. Миребо\*\*, Ж. Андре\*\*

Петербургский институт ядерной физики РАН, Гатчина, Россия

E-mail: golosov@pnpi.spb.ru

\* Физико-технический институт им. А.Ф. Йоффе, Санкт-Петербург, Россия

\*\* Лаборатория Леона Бриллюэна. Центр исследования Сакле, Франция

Поступила в редакцию 28.04.2010 г.

Методом дифракции тепловых нейтронов исследована температурная эволюция структуры наночастиц оксида меди в температурном интервале 1.5–250 К. Частицы CuO получены разложением  $\text{Cu}(\text{NO}_3)_2 \cdot 3\text{H}_2\text{O}$  непосредственно в порах пористого стекла со средним диаметром пор 7 нм. Определен характерный размер наночастиц и линейные коэффициенты теплового расширения.

## ВВЕДЕНИЕ

Оксиды переходных металлов MnO, FeO, CoO, NiO являются антиферромагнетиками и в обычном состоянии кристаллизуются в структуре NaCl, в то время как оксид CuO имеет моноклинную кристаллическую структуру (пр. гр. C2/c (№ 15), параметры ячейки при комнатной температуре  $a = 4.6837(5)$ ,  $b = 3.4226(5)$ ,  $c = 5.1288(6)$  Å и  $\beta = 99.54(1)^\circ$ ). Каждый атом меди находится в центре симметрии и окружен четырьмя атомами кислорода, в результате чего формируется плоскость CuO<sub>4</sub> [1]. При понижении температуры при  $T_{N1} \approx 230$  К происходит фазовый переход (ФП) в несопоставимую антиферромагнитную (АФ) фазу, а ниже  $T_{N2} \approx 213$  К переход в сопоставимую АФ-фазу [2, 3], в которой магнитный моменты направлены параллельно моноклинной оси  $b$ .

Известно, что магнитное взаимодействие играет важную роль в спаривании электронов в высокотемпературных сверхпроводниках La<sub>2-x</sub>A<sub>x</sub>CuO<sub>4</sub> (где A = Ba, Sr, Ca). Было показано, что в соединении La<sub>2</sub>CuO<sub>4</sub> сильные двумерные магнитные корреляции в плоскостях CuO<sub>2</sub> присутствуют существенно выше температуры Нееля [4]. Наличие плоскостей CuO<sub>2</sub> также является характерной особенностью более сложных сверхпроводников, в частности, в хорошо изученной структуре RBa<sub>2</sub>Cu<sub>3</sub>O<sub>7</sub> (R – ион редкой земли). В настоящее время принято считать, что магнитное взаимодействие между ионами меди и кислорода является общим механизмом, обуславливающим сверхпроводимость во всех медно-оксидных сверхпроводниках. Это обстоятельство стимулировало интерес к исследованию свойств CuO. Свойства

АФ-фазы и фазовые переходы в массивном CuO достаточно подробно исследованы [5–8]. В частности, в [9] показано, что характер температурной зависимости коэффициента теплового расширения в диапазоне 4.7–267 К, его величина и знак для монокристаллов оксида меди зависят от предыстории, т.е. от термической или термомеханической обработки образцов. Полученные результаты авторы объясняют, исходя из предположения, что в монокристаллах CuO существуют неравновесные упруго-напряженные состояния. В этом случае коэффициент теплового расширения состоит из двух вкладов: теплового расширения собственно монокристалла CuO, и теплового расширения, обусловленного упругими деформациями системы зародышей новой фазы полярных центров, причем последний вклад отрицателен при всех температурах.

С помощью дифракции синхротронного излучения были исследованы особенности структуры CuO в температурном интервале 100–1000 К [10]. Было показано существование структурного перехода при 800 К. При понижении температуры вплоть до  $T_{N1}$  параметры решетки  $a$ ,  $b$  и  $c$  монотонно убывают, однако при температурах от  $T_{N1}$  до  $T_{N2}$   $a$  и  $c$  становятся температурно-независимыми, тогда как параметр  $b$  слегка возрастает. Эти низкотемпературные аномалии, очевидно, обусловлены магнитострикционными эффектами.

Хорошо известно, что переход от массивного вещества к ультрадиспергированным частицам ведет к существенной модификации макроскопических свойств из-за размерного эффекта. В случае антиферромагнитных частиц роль поверхностных нескомпенсированных спинов оказывается значительной и приводит к появлению результирующего ферромагнитного момента в

<sup>1</sup> VI Международный семинар по физике сегнетоэластиков, Воронеж, Россия, 22–25 сентября 2009 г.

каждой частице и суперпарамагнитного поведения. Естественно, что с уменьшением размера частиц число некомпенсированных поверхностных спинов растет и можно ожидать сильного изменения магнитных свойств. Такие материалы имеют неплохие перспективы практического использования [11, 12]. Свойства и структура наночастиц оксидов переходных металлов в последнее время исследуются достаточно интенсивно. Так, например, подробно исследованы магнитные свойства наноструктурированного NiO [13],  $\gamma$ - $\text{Fe}_2\text{O}_3$  [14], и  $\alpha$ - $\text{Fe}_2\text{O}_3$  [15],  $\text{Fe}_3\text{O}_4$  [16], MnO [16, 17], CoO [18] и др.

Наночастицы оксида меди также не остались без внимания. Например, в [19] был обнаружен переход от  $\text{CuO}$ , полученного путем разложения цитрата меди, к  $\text{Cu}_2\text{O}$  при уменьшении размера наночастиц менее 25 нм. Этот переход сопровождался резким увеличением объема элементарной ячейки на одну формульную единицу. С другой стороны, в [20] были исследованы температурные и полевые зависимости намагниченности наночастиц  $\text{CuO}$  для частиц с диаметрами от 6.6 до 37 нм, полученных золь-гель методом из водных растворов  $\text{Cu}(\text{NO}_3)_2$ , и никакого размерно-индцированного перехода обнаружено не было. Следует отметить, что в этих образцах наблюдалось резкое увеличение объема ячейки из-за увеличения параметра решетки  $b$  при уменьшении размера частиц  $L$  менее 10 нм. Температура Нееля при уменьшении  $L$  понижалась от ~228 К ( $L = 37$  нм) до ~208 К ( $L = 9.1$  нм), а магнитная восприимчивость  $\chi$  увеличивалась почти в 8 раз. В [21] ультрадисперсные частицы оксида меди со средними диаметрами  $3.5 \pm 0.5$  нм и  $6.5 \pm 0.5$  нм были получены электрохимическим методом, и следов присутствия фазы  $\text{Cu}_2\text{O}$  или размерно-индцированного перехода также не обнаружено.

Наиболее удивительный результат был получен в [22], где в наночастицах  $\text{CuO}$  со средним размером 5 нм, приготовленных методом механического перемалывания, обнаружили гигантский отрицательный объемный коэффициент теплового расширения  $\beta = -1.1 \times 10^{-4} \text{ K}^{-1}$  при температурах ниже  $T_{N2}$ . В области высоких температур поведение коэффициента  $\beta$  соответствует зависимости  $\beta(T)$ , наблюдаемой для массивного материала. Авторы [22] предположили, что это явление связано с появлением магнитного упорядочения и аномально большой магнитострикции.

Видно, что экспериментальные данные о свойствах и стабильности структуры  $\text{CuO}$  при низких температурах и при малых размерах наночастиц достаточно противоречивы. С целью выявить роль метода приготовления на структурные свойства наночастиц оксида меди, мы провели исследование эволюции кристаллической структуры наночастиц оксида меди, синтезированных в пористых стеклах.

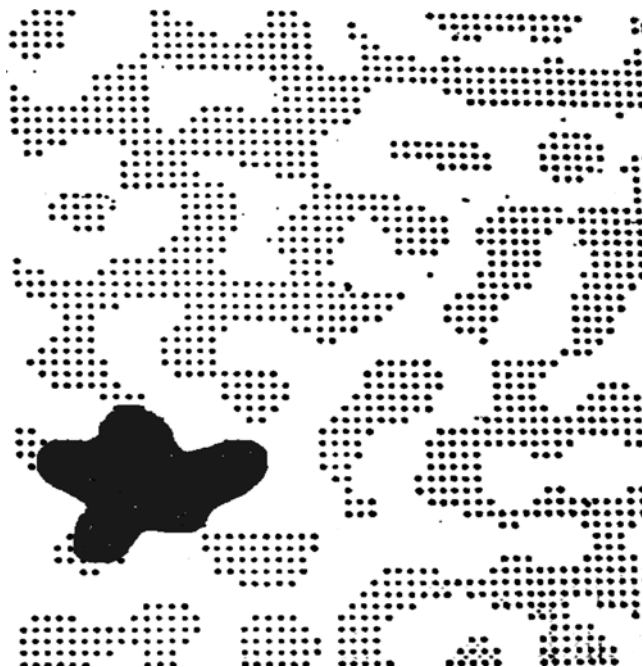
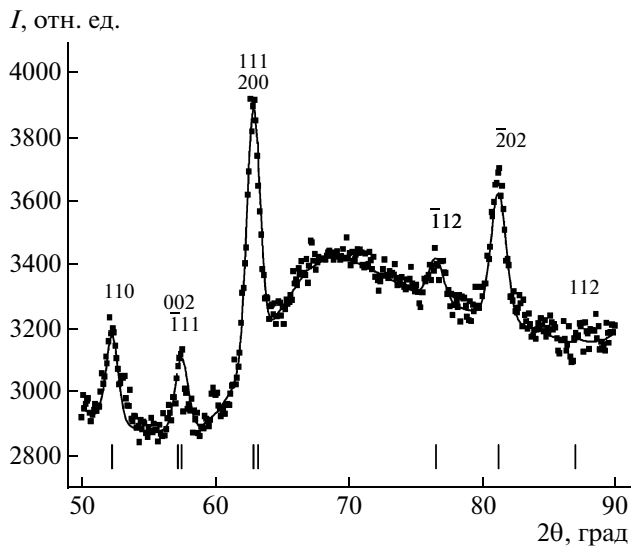


Рис. 1. Схематический рисунок поперечного среза пористого стекла с агломератом  $\text{CuO}$ . Черные точки – каркас из аморфного  $\text{SiO}_2$ , белое пространство – сечение пор, сплошным черным цветом обозначен синтезированный агломерат  $\text{CuO}$ .

## ПРИГОТОВЛЕНИЕ ОБРАЗЦОВ И МЕТОДИКА ЭКСПЕРИМЕНТА

В настоящей работе в качестве матриц использовались стекла типа “усор”, имеющие разветвленную дендритную систему пор со средним диаметром 7(1) нм. Объем пустот составлял около 25% от общего объема матрицы. Перед заполнением оксидом меди образцы пористых стекол отжигались при 550°C в течение 2 ч для удаления адсорбированных органических соединений и воды. Для синтеза  $\text{CuO}$  в порах использовался насыщенный водный раствор нитрата меди. Образцы пропитывались раствором при нормальных условиях, далее высушивались при 100°C, после чего проводилось термическое разложение нитрата меди до оксида при температуре 350°C. Согласно результатам термогравиметрического анализа [23], нитрат меди  $\text{Cu}(\text{NO}_3)_2 \cdot 3\text{H}_2\text{O}$  при температурах выше 330°C полностью переходит в  $\text{CuO}$ . Процесс заполнения циклически повторялся. После 12 циклов степень заполнения пор матрицы оксидом меди, определенная гравиметрическим методом, составила ~35 об. %. На рис. 1 приведен схематический рисунок поперечного среза пористого стекла и наночастицы – агломерата  $\text{CuO}$ .



**Рис. 2.** Нейтронограмма композита  $\text{CuO} +$  пористое стекло при 150 К. Вертикальные линии внизу – положения упругих пиков, черные точки – результат подгонки по методу профильного анализа, черные точки – эксперимент.

Нейтронографические исследования проводились на порошковом дифрактометре G4-1 ( $\lambda = 2.4266 \text{ \AA}$ ) при  $T = 1.4$  и 150 К и дифрактометре G6-1 ( $\lambda = 4.74 \text{ \AA}$ ) в диапазоне температур от 40–250 К в Лаборатории Леона Бриллюэна (Центр исследований Сакле, Франция). Все дифрактограммы были обработаны с помощью программы Fullprof [24], которая реализует метод профильного анализа дифрактограмм, известный как метод Ритвельда.

## ОБСУЖДЕНИЕ РЕЗУЛЬТАТОВ

На рис. 2 приведена нейтронограмма от нанокомпозита  $\text{CuO} +$  пористое стекло, полученная при 150 К измеренная на длине волны падающих нейтронов  $2.4266 \text{ \AA}$ . Как видно из рисунка, положения Брэгговских пиков на нейтронограмме соответствуют расчетным (показаны на рисунке вертикальными линиями). Никаких дополнительных пиков, например от  $\text{Cu}_2\text{O}$ , не обнаружено. При проведении профильного анализа варьировалась заселенность позиции кислорода, которая оказалась равной 1.05(18), таким образом можно утверждать, что в порах исходной матрицы синтезирован оксид меди.

Как хорошо известно, наблюдаемое уширение пиков может быть вызвано как размерным эффектом, так и внутренними напряжениями. Однако эти два типа уширения имеют разную зависимость от переданного импульса, поэтому легко различимы. В случае  $\text{CuO}$  оказалось, что вклад в ширину рефлексов от внутренних напряжений

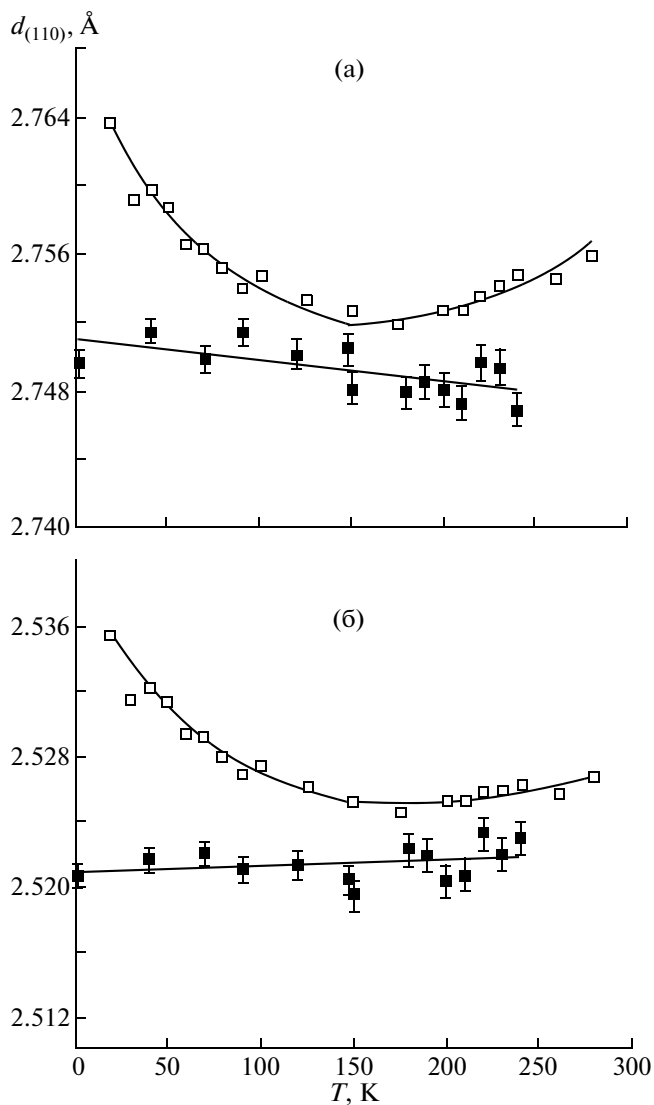
пренебрежимо мал, поэтому наблюдаемая ширина рефлексов обусловлена размерным эффектом.

Из ширины рефлексов с учетом инструментального разрешения был определен характерный, объемно усредненный, размер (диаметр) наночастиц  $146(5) \text{ \AA}$ , причем этот размер практически не зависит от температуры. Следует также отметить, что диаметр наночастиц примерно в 2 раза больше диаметра пор, т.е. наночастица действительно имеет вид, схематически изображенный на рис. 1. Подобное обстоятельство известно практически для всех наночастиц, синтезированных внутри пористого стекла, и объясняется кристаллизацией в соседних связанных порах.

Присутствие большого диффузного фона на нейтронограмме вызвано рассеянием на аморфном  $\text{SiO}_2$ , из которого состоит исходное стекло. Такой фон наблюдается во всех экспериментах, связанных с исследованием материалов, внедренных в пористые стекла. При 1.5 К вид нейтронограммы практически не изменялся и сверхструктурных пиков не обнаружено. Так как интегральная интенсивность рассеяния примерно пропорциональна  $\lambda^2$ , то дальнейшие измерения проводили на длине волны  $\lambda = 4.74 \text{ \AA}$  с целью поднять светосилу. Действительно в эксперименте наблюдались очень слабые сверхструктурные отражения, по-видимому магнитной природы, однако имеющейся статистики недостаточно, чтобы определить магнитную структуру и величину магнитного момента. Это связано с большим фоном, малым количеством наноструктурированного оксида меди и малым моментом иона  $\text{Cu}^{2+}$  ( $\sim 1 \mu_B$ ) для свободного иона.

На рис. 3а и 3б показаны температурные зависимости межплоскостных расстояний  $d_{(110)}$  и  $d_{(\bar{1}\bar{1}1)}$ , рассчитанные из соответствующих рефлексов. На рис. 2 видно, что отражения (002) и  $(\bar{1}\bar{1}1)$  накладываются друг на друга, поскольку соответствующие межплоскостные расстояния практически одинаковы. Однако отношение квадратов структурных факторов отражений  $(\bar{1}\bar{1}1)$  и (002)  $F_{(\bar{1}\bar{1}1)}^2/F_{(002)}^2 \sim 7$ , поэтому положение и интегральная интенсивность этого пика в основном определяется именно отражением  $(\bar{1}\bar{1}1)$ .

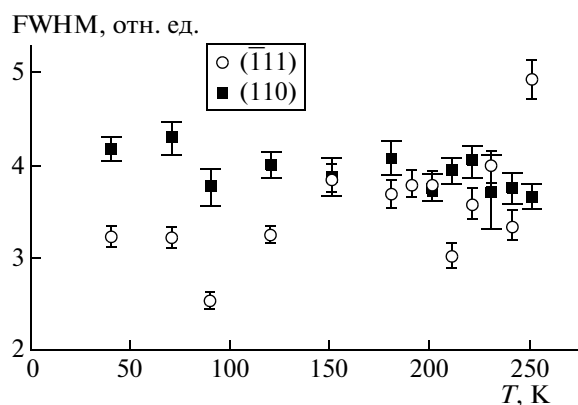
На рис. 3а, 3б приведены температурные зависимости (светлые точки) соответствующих межплоскостных расстояний, рассчитанных на основании данных [22], в которой наблюдался гигантский отрицательный коэффициент теплового расширения в области существования антиферромагнитногоупорядочения. Легко видеть, что полученные нами результаты не демонстрируют каких-либо особенностей:  $d_{(110)}$  слабо возрастает с понижением температуры, а  $d_{(\bar{1}\bar{1}1)}$  незначительно уменьшается. Результаты подгонки этих зависи-



**Рис. 3** Температурные зависимости межплоскостных расстояний  $d_{(110)}$  (а) и  $d_{(111)}$  (б) для наночастиц CuO. Светлые точки – данные [24], кривая проведена для сглаживания. Темные точки – результаты настоящей работы, прямая линия – результат подгонки линейной функцией.

мостей линейной функцией дали следующие значения линейного коэффициента теплового расширения: вдоль направления  $(\bar{1}11)$  –  $1.4(2) \times 10^{-6} \text{ К}^{-1}$  и вдоль  $(110)$  –  $-7.0(2) \times 10^{-6} \text{ К}^{-1}$  (соответствуют прямым на рис. 3а и 3б). Эти величины не позволяют говорить о наличии какой-либо заметной температурной зависимости коэффициента теплового расширения для CuO, полученного методом непосредственного синтеза в пористом стекле со средним диаметром пор 7 нм.

На это же обстоятельство указывает и температурная зависимость ширины пиков  $(110)$  и  $(\bar{1}11)$ – $(002)$ , приведенная на рис. 4. Хорошо видно, что



**Рис. 4.** Температурные зависимости полной ширины Брэгговских пиков  $(110)$  и  $(\bar{1}11)$ – $(002)$  на полувысоте (FWHM) для наночастиц CuO.

значения ширин практически не зависят от температуры во всем исследованном интервале. Ширина напрямую связана с размером частиц CuO, поэтому можно утверждать, что этот размер также не зависит от температуры. Таким образом, можно сделать вывод, что наблюдаемый в [22] гигантский отрицательный объемный коэффициент теплового расширения связан, в первую очередь, с приготовлением образцов, т.е. обусловлен процедурой механического перемалывания, которое ведет к появлению значительных упругих деформаций в полученных наночастицах. Подобные деформации, как показано в статье [9] и уже упоминалось во введении, дают отрицательный вклад в коэффициент теплового расширения даже для массивного материала.

## ЗАКЛЮЧЕНИЕ

Проведены нейтрон-дифракционные исследования температурной эволюции структуры наночастиц CuO, синтезированных в порах пористого стекла со средним диаметром пор 7 нм. Определен размер наночастиц  $(146 \pm 5 \text{ \AA})$ , практически не зависящий от температуры в интервале 1.5–250 К. Гигантского отрицательного коэффициента теплового расширения для данных образцов не обнаружено. Анализ результатов показывает, что коэффициент теплового расширения в наночастицах сильно зависит от метода приготовления наночастиц.

Работа выполнена при финансовой поддержке Российского фонда фундаментальных исследований (проекты № 07-02-00608 и 09-02-00329).

## СПИСОК ЛИТЕРАТУРЫ

1. Esbrink S., Norrby L.-J. // Acta Cryst. B. 1970. V. 26. P. 8.
2. Brockhouse B.N. // Phys. Rev. 1954. V. 94. P. 781.

3. Forsyth J.B., Brown P.J., Wanklyn B.M.J. // Phys. C. Solid State Phys. 1988. V. 21. P. 2917.
4. Shirane G., Endoh Y., Birgeneau R.J. et al. // Phys. Rev. Lett. 1987. V. 59. P. 1613.
5. Yang B.X., Tranquada J.M., Shirane G. // Phys. Rev. B. 1988. V. 39. P. 174.
6. Yang B.X., Thurston T.R., Tranquada J.M., Shirane G. // Phys. Rev. B. 1989. V. 39. P. 4343.
7. Din M., Menelle A., Wanklyn B.M., Bertaut E.F. // J. Phys.: Condens. Matter. 1992. V. 4. P. 5327.
8. Brown P.J., Chattopadhyay T., Forsyth J.B. et al. // J. Phys.: Condens. Matter. 1991. V. 3. P. 4281.
9. Москвин А.С., Крынецкий И.Б., Панов Ю.Д. // ФТТ. 1996. Т. 38. № 9. С. 2698.
10. Hiroshi Yamada, Xu-Guang Zheng, Yuji Soejima, Masa-ru Kawaminami // Phys. Rev. B. 2004. V. 69. P. 104104.
11. Speliotis D.E. // J. Magn. Magn. Mater. 1999. V. 193. P. 29.
12. Kodama R.H., Berkowitz A.E. // Phys. Rev. B. 1999. V. 59. P. 6321.
13. Makhlof S.A., Parker F.T., Spada F.E., Berkowitz A.E. // J. Appl. Phys. 1997. V. 81. P. 5561.
14. Голосовский В., Товар М., Хоффман У.И. и др. // Письма в ЖЭТФ. 2006. Т. 83. С. 356.
15. Golosovsky I.V., Mirebeau I., Fauth F. et al. // Solid State Commun. 2007. V. 141. P. 178.
16. Mørup S., Madsen D., Frandsen C. et al. // J. Phys.: Condens. Matter. 2007. V. 19. P. 213202.
17. Golosovsky I.V., Mirebeau I., André G. et al. // Phys. Rev. Lett. 2001. V. 86. P. 5783.
18. Голосовский И.В., Мирбо И., Андре Ж. и др. // ФТТ. 2006. Т. 48. № 11. С. 2010.
19. Palkar V.R., Ayyub P., Chattopadhyay S., Multani M. // Phys. Rev. B. 1996. V. 53. P. 2167.
20. Punnoose A., Magnone H., Seehra M.S. // Phys. Rev. B. 2001. V. 64. P. 174420.
21. Borgohain K., Singh J. B., Rama Rao M.V. et al. // Phys. Rev. B. 2000. V. 61. P. 11093.
22. Zheng X.G., Kubozono H., Yamada H. et al. // Nature Nanotechnology. 2008. V. 3. P. 724.
23. Živkovi Ž.D., Živkovi D.T., Grujičić D.B. // J. Thermal Analysis. 1998. V. 53. P. 617.
24. Rodriguez-Carvajal J. // Physica B. 1993. V. 192. P. 55. (<http://www.ill.eu/sites/fullprof>).